

УДК 54-128.4:544.6.018.462.42

## ОСОБЕННОСТИ СТРОЕНИЯ ГИБРИДНЫХ МЕМБРАН 4-ВП-ГЭМА-SiO<sub>2</sub> И ИХ ПРОТОННАЯ ПРОВОДИМОСТЬ

© 2023 г. О. В. Лебедева<sup>a</sup>, \*, Т. В. Раскулова<sup>b</sup>, \*\*, С. А. Безносюк<sup>c</sup>, А. В. Рябых<sup>c</sup>,  
Л. В. Фомина<sup>b</sup>, Е. И. Сипкина<sup>a</sup>

<sup>a</sup>Иркутский национальный исследовательский технический университет,  
ул. Лермонтова, 83, Иркутск, 664074 Россия

<sup>b</sup>Ангарский государственный технический университет, ул. Чайковского, 60, Ангарск, 665835 Россия

<sup>c</sup>Алтайский государственный университет, пр. Ленина, 61, Барнаул, 656049 Россия

\*e-mail: oks18021972@gmail.com

\*\*e-mail: raskulova@list.ru

Поступила в редакцию 07.11.2022 г.

После доработки 20.11.2022 г.

Принята к публикации 07.12.2022 г.

Методом золь—гель синтеза сформированы гибридные органо-неорганические мембранны на основе тетраэтоксисилана и додипропионовых ортофосфорной кислотой сополимеров 4-винилпиридина (4-ВП) и 2-гидроксиэтилметакрилата (ГЭМА). Мембранны отличаются высокими значениями обменной емкости и протонной проводимости. Увеличение протонной проводимости гибридных органо-неорганических мембранны по сравнению с исходным сополимером можно связать с генерацией кристаллизационной воды при формировании фрагмента диоксида кремния, что следует из квантово-химического моделирования локальной структуры мембранны, включающей органическую часть из продукта сополимеризации 4-ВП с ГЭМА (44 атома) и неорганическую часть из 27 атомов, повторяющую структуру блока диоксида кремния.

**Ключевые слова:** гибридные органо-неорганические мембранны, протонная проводимость, кванто-во-химическое моделирование

**DOI:** 10.31857/S2218117223020049, **EDN:** HYVVXZ

### ВВЕДЕНИЕ

Ионообменные материалы и мембранны нашли широкое применение в химической технологии, биотехнологических процессах, в механических и микроэлектронных устройствах, медицине, экологии и т.д. Особое распространение ионообменные мембранны различных типов, в том числе органо-неорганические (гибридные), находят в энергетике, так как используются в составе мембранны-электродного блока твердополимерных топливных элементов (ТПТЭ), что связано, в первую очередь, с широчайшей возможностью модификации их проводящих, механических и химических свойств путем изменения типа входящих в их структуру компонентов.

Такие мембранны обладают высокой термостойкостью и механической прочностью [1], а также обеспечивают значительную протонную проводимость [2]. При этом по ряду показателей, например, механической прочности, возможности регулирования гидрофильтрной составляющей, такие мембранны превосходят традиционные коммерческие мембранны типа Nafion [3, 4]. Кроме того, они

могут отличаться более низкой стоимостью. В настоящее время ионпроводящие полимерные мембранны получают на основе полииimidов [3], полиэфир-эфиркетонов [5], полиариленэфиркетонов [6], полипирролов [7], эпоксисодержащих полимеров [8], триазолсодержащих полимеров [9] и т.д.

Для улучшения механических свойств, повышения термостабильности, водостойкости, протонной проводимости полимерных мембранны вводят неорганические наполнители, такие как оксиды кремния и циркония [10], оксиды церия и титана [11], углеродные материалы, такие как нанотрубки, фуллерены или производные графена [12], гетерополикислоты (полисурьмянная [13], поливольфрамовые [14]).

Среди неорганических компонентов, доступных для применения в промышленном масштабе, наиболее предпочтительным представляется диоксид кремния из-за его более низкой стоимости. Додирование мембранны диоксидом кремния повышает их термическую, химическую и механическую стабильность, а также ионную проводимость [15].

Показано, что основная часть неорганических прекурсоров, главным образом, влияет на структурообразование мембран, и не содержит в своем составе химически-активных групп, способных к генерации протонов, либо к интеркаляции кислот-допантов в состав мембранны [20].

Ранее нами был получен и исследован широкий ряд гибридных мембран на основе тетраэтоксисилана (ТЭОС) и бинарных сополимеров различной природы допированных ортофосфорой или сульфирированных серной кислотами: 4-винилпиридин–2-гидроксиэтилметакрилат, 2-метил-5-винилпиридин–венилхлорид, 2-метил-винилпиридин–венилацетат, винилпирацол–венилхлорид, винилпирацол–метилметакрилат, винилпирацол–венилацетат, стирол–аллилглицидиловый эфир. При этом показано [16–19], что протонная проводимость ряда мембран, сформированных из гибридного композита, более чем на порядок превышает проводимость мембран, полученных на основе сополимеров при отсутствии в них дополнительных протонпроводящих группировок. Увеличение протонной проводимости гибридных мембран происходит за счет повышения пористости и, следовательно, увеличения суммарного объема каналов, обеспечивающих протонный перенос [20].

Цель работы заключается в объяснении экспериментальных значений протонной проводимости гибридных органо-неорганических мембран на основе сополимеров 4-ВП-ГЭМА и продукта гидролитической поликонденсации ТЭОС в сравнении с органическими сополимерами 4-ВП-ГЭМА с помощью квантово-химических расчетов.

## ЭКСПЕРИМЕНТАЛЬНАЯ ЧАСТЬ

**Квантово-химическая оценка термодинамической устойчивости локальной структуры композита.** С помощью пакета программ ORCA 4.2.0. [21] методом функционала плотности Becke-Pere-dewBP86, состоящего из обменного функционала B88 и корреляционного функционала PW86 [22, 23], с использованием базисного набора def2-SVP [24] оценили термодинамическую устойчивость молекулярных систем, моделирующих различную конформацию составных частей сополимера. Использовали подход, реализованный в работе [25], где для сходной атомно-молекулярной системы был обоснован выбор метода и базиса при компьютерном моделировании. Для расчета одноточечной энергии путем процедуры самосогласования использовали алгоритм сходимости DIIS с критерием сходимости по энергии  $10^{-8}$  Хартри с параметром сетки интегрирования Grid5. Расчеты проводились с применением метода аппроксимации вычисления интегралов Split-RI-J. В результате компьютерного моделирования получены значения внутренней энергии  $U_0^0$  при  $T = 0$  К

для всех рассматриваемых структур. Далее был рассчитан гессиан энергии аналитическим способом, из которого получены гармонические частоты колебания. На основании значений частот колебаний получили значения функции Гиббса  $G$  при  $p = 1$  атм и  $T = 298.15$  К с помощью алгоритмов программного пакета ORCA, основанных на методах статистической термодинамики. Полученные значения термодинамических функций  $U_0^0$  и  $G_{298}^0$  использовали для оценки термодинамической устойчивости атомно-молекулярных структур звена сополимера. Данную оценку проводили путем расчета изменения термодинамической функции образования данной структуры как разность соответствующего значения энергии модельной структуры и суммы энергий неорганического и органического компонентов.

## РЕЗУЛЬТАТЫ И ИХ ОБСУЖДЕНИЕ

Сополимеры 4-винилпиридина (4-ВП) с 2-гидроксиэтилметакрилатом (ГЭМА) были получены в условиях свободно-радикального инициирования под действием динитрила азобisisомасляной кислоты при температуре 60°C в растворе ДМФА [17].

Синтез гибридных мембран проводили по разработанным нами ранее методикам [26, 27]. Методом золь–гель синтеза с участием тетраэтоксисилана (ТЭОС) [28, 29] получены гибридные мембранны, состоящие из полимерной матрицы, в которой равномерно распределены частицы гидратированного диоксида кремния (схема 1). Для придания ионпроводящих свойств, мембранны были допированы раствором 9 М  $H_3PO_4$ .

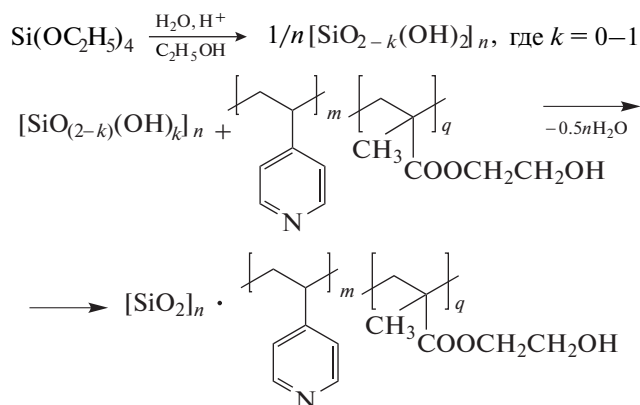


Схема 1.

Гибридные мембранны 4-ВП-ГЭМА-SiO<sub>2</sub> изучены физико-химическими методами (элементный анализ, ИК спектроскопия, ТГА и ДСК, ионообменная емкость, протонная проводимость, механические свойства) [17]. Синтезированные гибридные мембранны имеют следующие характеристики: ионообменную емкость 2.1 мг-экв/г, протонную

**Таблица 1.** Протонная проводимость ( $\sigma$ ) мембран на основе сополимеров 4-ВП-ГЭМА и их композитов с  $\text{SiO}_2$

Основа мембранны	$T, \text{ К}$	$\sigma, \text{ См}/\text{см}$
Сополимер 4-ВП-ГЭМА	298	$6.4 \times 10^{-4}$
$\text{SiO}_2$ : сополимер 4-ВП-ГЭМА	298	$8.7 \times 10^{-3}$
$\text{SiO}_2$ : сополимер 4-ВП-ГЭМА	303	$9.1 \times 10^{-3}$
$\text{SiO}_2$ : сополимер 4-ВП-ГЭМА	313	$1.2 \times 10^{-2}$
$\text{SiO}_2$ : сополимер 4-ВП-ГЭМА	333	$1.6 \times 10^{-2}$

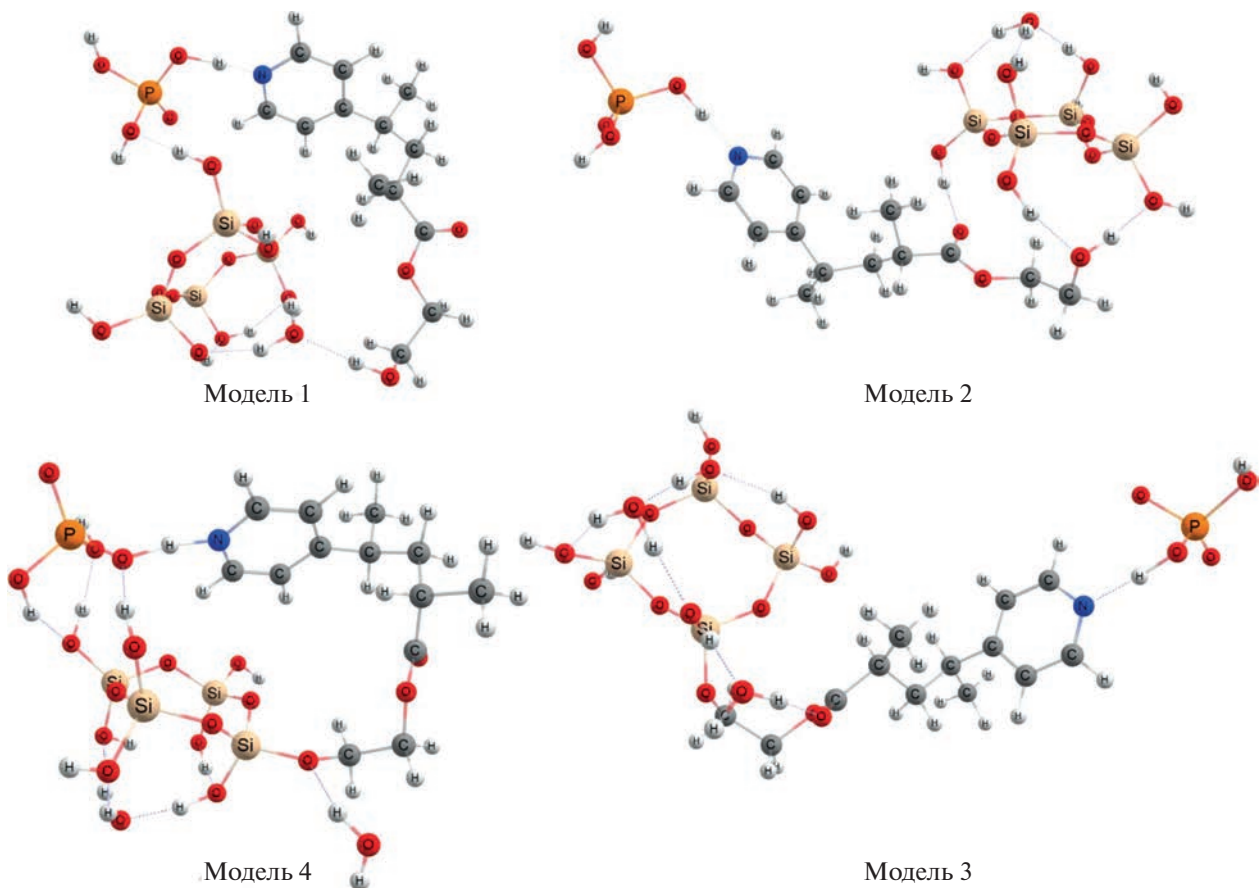
проводимость  $(0.9\text{--}1.9) \times 10^{-2} \text{ См}/\text{см}$  (табл. 1), энергию активации  $12 \pm 2 \text{ кДж}/\text{моль}$  в интервале  $298\text{--}363 \text{ К}$ , термостойкость до  $412^\circ\text{C}$ , прочность при разрыве  $55.5 \text{ МПа}$  [17].

Анализ данных табл. 1 показывает, что протонная проводимость гибридных мембран более чем на порядок превышает протонную проводимость полимерных мембран. Для объяснения данного факта была проведена квантово-химическая оценка термодинамической устойчивости модельной структуры композита.

*Термодинамические характеристики модельных структур.* Структура силоксанового фрагмента, используемого в данном моделировании, показана в [25]. На рис. 1 представлены различные модельные структуры, симулирующие одно звено сополимера 4-ВП-ГЭМА с присоединенной к пиридиновому кольцу молекулой фосфорной кислоты.

Проведена оптимизация геометрии для двух молекулярных структур (Модель 1 и Модель 2) и двух ковалентных структур (Модель 3 и Модель 4), отличающихся относительным положением силоксанового фрагмента. В Модели 1 и Модели 2 связь между силоксановой и органической частью композита обусловлена межмолекулярными водородными связями. В Модели 3 и Модели 4 учтена возможность образования ковалентной связи  $\text{Si}-\text{O}-\text{C}$  при взаимодействии гидроксильных групп силоксана и органической компонентой сополимера.

В Модели 1 молекула воды, выделившаяся за счет замыкания цикла силоксана и имеющая с ним три водородные связи, образует дополнительную межмолекулярную связь с гидроксильной группой сополимера. Таким образом, она имеет координационное число 4. Молекула фос-



**Рис. 1.** Модельные структуры звена сополимера 4-ВП-ГЭМА.

форной кислоты, связанная с пиридиновым циклом, образует водородную связь с гидроксилом неорганического фрагмента силоксана с противоположной стороны относительно первой межмолекулярной связи. В Модели 2 силоксановый фрагмент развернут по отношению к органическому блоку композита противоположной стороной кольца. Вода, возникшая из неорганической части композита, и фосфорная кислота не образуют связующих межмолекулярных звеньев между органической и неорганической частями композита. Здесь два гидроксила силоксана образуют водородные связи с гидроксильной группой сopolимера. Третья гидроксильная группа силоксанового фрагмента взаимодействует с атомом кислорода карбонильной группы сopolимера.

В Модели 3 вторая молекула воды, образовавшаяся при взаимодействии двух гидроксильных групп, вступает в кулоновское взаимодействие с гидроксильной группой силоксанового фрагмента и карбонильным кислородом сopolимера. Вода, ранее вошедшая в неорганическую часть композита, и фосфорная кислота не образуют внутримолекулярных связующих звеньев между фрагментами композита. Конформация Модели 3 напоминает конформацию Модели 2. В Модели 4 молекула фосфорной кислоты, связанная с пиридиновым циклом, образовала дополнительно три водородные связи с гидроксилами неорганического фрагмента. Молекула воды, выделившаяся при образовании ковалентной связи между органической и неорганической составляющими композита,

образовала одну межмолекулярную связь с кислородом группировки Si—O—C. Ориентация между органическим и неорганическим блоками в композите четвертой модели подобна ориентации в Модели 2 и в Модели 3, когда первая молекула воды стабилизирована неорганическим фрагментом и не принимает участия в образовании межмолекулярных связей.

В табл. 2 проведено сравнение по энергии metastабильных состояний органо-неорганического композита 4-ВП-ГЭМА—SiO<sub>(2-k)</sub>(OH)<sub>2k</sub> в различных моделях сопряжения.

Из расчетов (табл. 2) видно, что разность энергий всех четырех структур невелика. Наиболее устойчивы структуры Моделей 2 и 4. С позиций статистической термодинамики можно предположить, что в реальной структуре сopolимера могут присутствовать все виды конформаций звеньев соответствующих моделей, что подтверждается малой интенсивностью колебаний группировки Si—O—C в ИК спектре. Но Модель 3 имеет самую высокую энергию по сравнению с Моделью 4. Поэтому по величине относительной энергии можно выделить следующий ряд по частоте встречающихся конформаций звеньев в сopolимере: 3 < 1 < 2 < 4.

Все модели можно сгруппировать по конформационному признаку. На Схеме 2 показан принцип расчета полной энергии ( $E$ ) и изменение функции Гиббса ( $\Delta G$ ) реакции образования структур композита по уравнению  $E_{\text{обр}} (\text{композит}) = E (\text{композит}) - E (\text{орг.}) - E (\text{неорг.})$ .

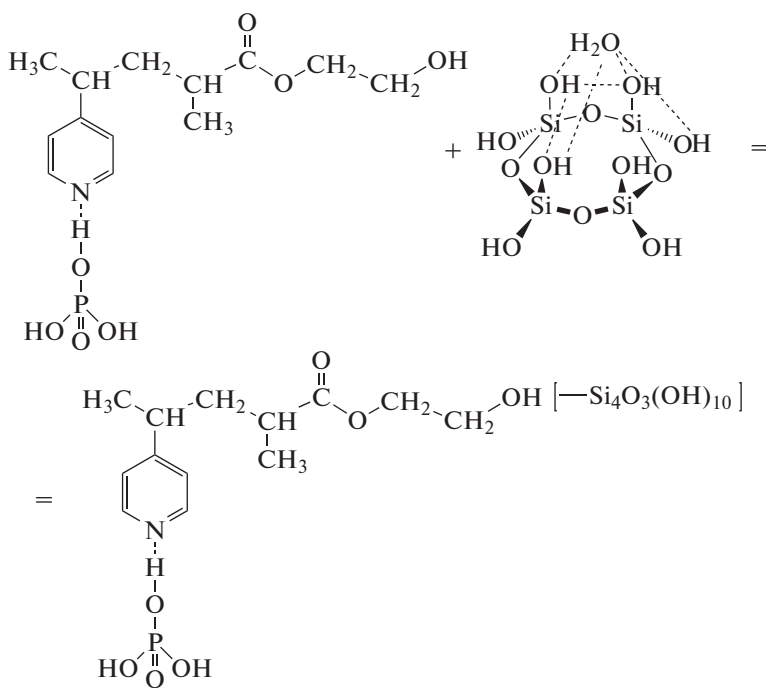


Схема 2.

**Таблица 2.** Сравнение параметров энергии метастабильных состояний органо-неорганического композита 4-ВП-ГЭМА– $\text{SiO}_{(2-k)}(\text{OH})_{2k}$  в различных моделях сопряжения по отношению к Модели 4

Номер модели	Полная энергия структуры, эВ/(кДж/моль)	Функция Гиббса $G_{298}^0$ структуры, эВ/(кДж/моль)	Число водородных связей ( $n$ )
1	0.286/(27.56)	0.182/(17.57)	8
2	0.138/(13.25)	0.106/(10.19)	8
3	0.366/(35.27)	0.259/(24.96)	7
4	0	0	9

На рис. 2 представлены изменения термодинамических функций (внутренней энергии при  $T = 0$  К  $\Delta E$  и функции Гиббса при  $T = 298.15$  К  $\Delta G$ ), вычисленные с использованием закона Гесса и Схемы 2. Все значения приведены относительно значений для Модели 4.

Из рис. 2 видно, что разность энергий структур невелика. Два минимума соответствуют наиболее устойчивым структурным Моделям 2 и 4. При этом Модель 4 характеризуется максимальным числом водородных связей (9), силоксановый фрагмент удерживается ковалентной связью Si–O–C и тремя водородными связями, образованными с участием молекулы фосфорной кислоты.

В Моделях 1 и 2 одинаковое количество водородных связей (8), при этом первая выше по энергии, чем вторая. Это можно объяснить усилением межэлектронного отталкивания ввиду плотной конформации, а также тем, что неорганическая часть удерживается только за счет одной водородной связи, образованной между молекулой воды и OH-группой сополимера, а также одной водородной связью от фосфорной кислоты. Модель 2 ниже по энергии. Неорганическая часть удержи-

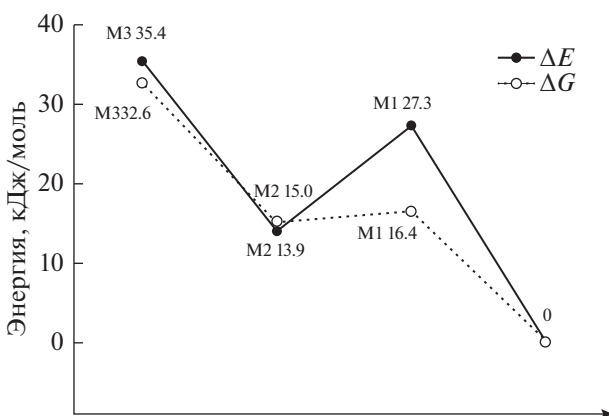
вается 2-мя водородными связями от Si–OH к HO–C и одной от Si–OH к O=C.

Вычисление изменения функций Гиббса образования модельных структур позволяет уточнить ряд по вероятности по Больцману встречи определенных структур звеньев сополимера:  $3 < 1 < 2 < 4$ . Он повторяет ряд, полученный на основе анализа полной одноточечной энергии структур при  $T=0$  К, но показывает более дифференцированное распределение, показывая относительно небольшую вероятность встречи супрамолекулярной структуры 1 и ковалентной структуры 3.

Дополнительно произведена оценка прочности межмолекулярного взаимодействия молекулы фосфорной кислоты с атомом азота пиридиновой группировки путем вычитания из полной энергии структуры органического компонента, связанного с фосфорной кислотой, суммы свободных молекул кислоты и органического компонента. Получено значение 70 кДж/моль, что свидетельствует о наличии сильной водородной связи фосфорной кислоты и пиридиновой группы.

## ЗАКЛЮЧЕНИЕ

Таким образом, установлено, что при формировании композита 4-ВП-ГЭМА– $\text{SiO}_2$  молекула фосфорной кислоты связана с атомом азота достаточно крепкой водородной связью (70 кДж/моль). В наиболее устойчивой Модели 4 молекула  $\text{H}_3\text{PO}_4$  имеет один свободный от взаимодействий атом водорода. Он может легко отщепиться ввиду сдвига электронной плотности и участвовать в переносе протона по механизму Гrottуса. Увеличение протонной проводимости гибридных мембран в сравнении с мембранными, сформированными только из органического сополимера, можно связать с участием в транспорте ионов водорода не только молекул фосфорной кислоты, но и молекул воды, выделяющейся при формировании дендритной структуры силоксанового фрагмента структуре композита.



**Рис. 2.** Изменения термодинамических функций образования модельных структур, отнесенные к уровню Модели 4.

Найденные численным методом особенности строения гибридных мембран, содержащих диоксид кремния, объясняют рост их удельной электропроводности по сравнению с мембранами на основе сополимеров 4-ВП-ГЭМА.

## СПИСОК ЛИТЕРАТУРЫ

1. Honma J., Nakayama H., Nishikawa O., Sugimoto T., Nomura S. Organic/inorganic nano-composites for high temperature proton conducting polymer electrolytes // Solid State Ionics. 2003. V. 162–163. P. 237.
2. Ярославцев А.Б. Основные направления разработки и исследования твердых электролитов // Успехи химии. 2016. Т. 85. № 11. С. 1255–1277.
3. Ivanov V.S., Yegorov A.S., Allakhverdov G.R., Men'shikov V.V. Synthesis and investigation of polyimide-based proton-exchange membranes containing polysiloxane and crown ether moiety // Oriental J. Chemistry. 2018. V. 34. № 1. P. 255–264.
4. Guizhen Guo, Sun Youyi, Fu Qiang, MaYibing, Zhou Yaya, Xiong Zhiyuan, Liu Yaqing. Sol-gel synthesis of ternary conducting polymer hydrogel for application in all-solid-state flexible supercapacitor // International J. hydrogen energy. 2019. V. 44. P. 6103–6115.
5. Zhang Xiaoyu, Shiyuan Yu, Qian Zhu, Lianhua Zhao. Enhanced anhydrous proton conductivity of SPEEK/IL composite membrane embedded with amnofunctionalized mesoporous silica // International J. hydrogen energy. 2019. V. 44. P. 6148–6159.
6. Wang Yuanyuan, Xu Jingmei, Zang Huan, Wang Zhe. Synthesis and properties of sulfonated poly(arylene ether ketone sulfone) containing amino groups/functional titania inorganic particles hybrid membranes for fuel cells // International J. hydrogen energy. 2019. V. 44. P. 6136–6147.
7. Brijesh K., Bindu K., Shanbhag Dhanush, Nagaraja H.S. Chemically prepared Polypyrrole/ZnWO<sub>4</sub> nanocomposite electrodes for electrocatalytic waters plitting // International J. hydrogen energy. 2019. V. 44. № 2. P. 757–767.
8. Маркова М.В., Могнолов Д.М., Морозова Л.В., Михалева А.И., Трофимов Б.А. Композиционные протонпроводящие мембранны на основе поливинилглицидилового эфира этиленгликоля // Высокомолекулярные соединения. Серия Б. 2014. Т. 56. № 2. С. 216–225.
9. Roy S., Saha S., Kumar A.G., Ghora A., Banerjee S. Synthesis and characterization of new sulfonated copolytriazoles and their proton exchange membrane properties // J. applied polymer science. 2020. V. 137. P. 48514.
10. Сафонова Е.Ю., Паршина А.В., Янкина К.Ю., Рыжкова Е.А., Лысова А.А., Бобрешова О.В., Ярославцев А.Б. Гибридные материалы на основе мембран МФ-4СК и гидратированных оксидов кремния и циркония с функционализированной поверхностью, содержащей сульфогруппы: транспортные свойства и характеристика ПД-сенсоров в растворах аминокислот при различных pH // Мембранные технологии. 2017. Т. 7. № 11. С. 110116.
11. Караванова Ю.А., Пономарев И.И., Стенина И.А., Волкова Ю.А. Исследование ионной проводимости ионообменных мембран на основе сульфированного полинафтилимида, допированных оксидом церия // Мембранные технологии. 2018. Т. 8. № 2. С. 102–106.
12. Prikhnko I.A., Safranova E.Y., Ilyin A.B. Hybrid membranes synthesized from a Nafion powder and carbon nanotubes by hot pressing // Petroleum Chemistry. 2017. V. 57. № 13. P. 1228–1232.
13. Ярошенко Ф.А., Бурмистров В.А. Синтез и исследование протонной проводимости гибридных материалов на основе перфторированных сульфокатионитных мембран МФ-4СК, модифицированных полисульфомной кислотой // Мембранные технологии. 2018. Т. 8. № 4. С. 249–253.
14. Brijesh K., Bindu K., Dhanush Shanbhag, Nagaraja H.S. Chemically prepared Polypyrrole/ZnWO<sub>4</sub> nanocomposite electrodes for electrocatalytic water splitting // International J. Hydrogen Energy. 2019. V. 44. Issue 2. P. 757–767.
15. Pan H., Zhang Ya., Pu H., Chang Z. Organic-inorganic hybrid proton exchange membrane based on polyhedral oligomeric silsesquioxanes and sulfonated polyimides containing benzimidazole // J. Sources of energy. 2014. V. 263. P. 195–202.
16. Lebedeva O.V., Pozhidaev Y.N., Sipkina E.I., Chesnokova A.N., Ivanov N.A. Copolymers and proton conducting films based on N-vinylpyrazole // Advanced Materials Research. 2013. V. 749. P. 71–76.
17. Лебедева О.В., Сипкина Е.И., Пожидаев Ю.Н. Гибридные мембранны на основе диоксида кремния и сополимеров 2-гидроксиэтилметакрилата с 4-винилпиридином // Мембранные технологии. 2016. Т. 6. № 2. С. 138–143.
18. Emelyanov A.I., Lebedeva O.V., Malakhova E.A., Raskulova T.V., Pozhidaev Y.N., Verkhozina Y.A., Larina L.I., Korzhova S.A., Prozorova G.F., Pozdnyakov A.S. Acid–base membranes for solid polymer fuel cells // Membranes and membrane technologies. 2021. V. 3. № 3. P. 147–154.
19. Chesnokova A., Lebedeva O.V., Pozhidaev Y.N., Malakhova E.A., Raskulova T.V., Kulshrestha V., Kuzmin A.V., Pozdnyakov A.S. New non-fluoridated hybrid proton exchange membranes based on commercial precursors // International J. hydrogen energy. 2020. V. 45. № 37. P. 18716–18730.
20. Осипов А.К., Прихно И.А., Ярославцев А.Б. Ионный перенос в гибридных мембранных на основе перфторсульфополимеров // Мембранные технологии. 2018. Т. 8. № 6. С. 406–410.
21. Neese F. The ORCA program system // Wiley interdisciplinary Reviews—Computational Molecular Science. 2012. V. 2. P. 73–78.
22. Becke A.D. Density-functional exchange-energy approximation with correct asymptotic behavior // Phys. Rev. A. 1988. V. 38. P. 3098.
23. Perdew J.P. Density-functional approximation for the correlation energy of the inhomogeneous electron gas // Phys. Rev. B. 1986. V. 33. P. 8822.
24. Weigend F., Ahlrichs R. Balanced basis sets of split valence, triple zeta valence and quadruple zeta valence quality for

- H to Rn: Design and assessment of accuracy // Phys. Chem. Chem. Phys. 2005. V. 7. P. 3297.
25. Фомина Л.В., Малахова Е.А., Лебедева О.В., Пожидаев Ю.Н., Безносюк С.А., Фомин А.С., Раскулова Т.В. Механизм протонной проводимости ионпроводящих мембран на основе полисилесвиоксанов // Вестник Ангарского Государственного Технического Университета. 2019. № 13. С. 81–89.
26. Лебедева О.В., Пожидаев Ю.Н., Шаглаева Н.С., Поздняков А.С., Бочкарева С.С. Полимерные электролиты на основе азотистых оснований // Химическая технология. 2010. Т. 11. № 1. С. 20–25.
27. Chesnokova A.N., Lebedeva O.V., Pozhidaev Y.N., Ivanov N.A., Rzhechitskii A.E. Synthesis and properties of composite membranes for polymer electrolyte membrane fuel cells // Advanced Materials Research. 2014. V. 884–885. C. 251–256.
28. Добрянская Г.И., Зуб Ю.Л., Барчак М., Дабровский А. Синтез и структурно-адсорбционные характеристики бифункциональных ксерогелей, содержащих метильные и 3-меркаптопропильные группы // Коллоидный журнал. 2006. Т. 68. № 5. С. 601–611.
29. Андрианов К.А. Кремнийорганические соединения. М.: Госхимиздат, 1955. 385 с.

## Structural Features of 4-VP-HEMA-SiO<sub>2</sub> Hybrid Membranes and Their Proton Conductivity

O. V. Lebedeva<sup>1, \*</sup>, T. V. Raskulova<sup>2, \*\*</sup>, S. A. Beznosyuk<sup>3</sup>, A. V. Ryabykh<sup>3</sup>, L. V. Fomina<sup>2</sup>, and E. I. Sipkina<sup>1</sup>

<sup>1</sup>Irkutsk National Research Technical University, Lermontov St., 83, Irkutsk, 664074 Russia

<sup>2</sup>Angarsk State Technical University, Tchaikovsky St., 60, Angarsk, 665835 Russia

<sup>3</sup>Altai State University, Lenin Ave., 61, Barnaul, 656049 Russia

\*e-mail: oks18021972@gmail.com

\*\*e-mail: raskulova@list.ru

Hybrid organic-inorganic membranes based on tetraethoxysilane and orthophosphoric acid-doped copolymers of 4-vinylpyridine (4-VP) and 2-hydroxyethyl methacrylate (HEMA) were formed by the sol-gel synthesis method. The membranes are characterized by high values of exchange capacity and proton conductivity. An increase in the proton conductivity of hybrid organo-inorganic membranes compared to the initial copolymer can be associated with the generation of water of crystallization during the formation of a silicon dioxide fragment, which follows from quantum-chemical modeling of the local structure of the membrane, which includes an organic part from the copolymerization product of 4-VP with HEMA (44 atoms) and an inorganic part of 27 atoms, repeating the structure of the silicon dioxide block.

**Keywords:** hybrid organic-inorganic membranes, proton conductivity, quantum-chemical calculation